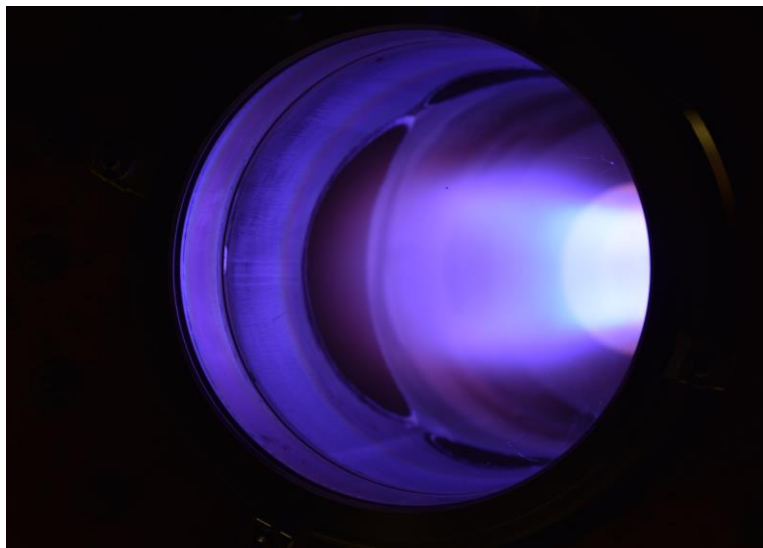




Von Karman Plasma: Présentation et Diagnostics



Equipe:

N. Plihon (DR CNRS)

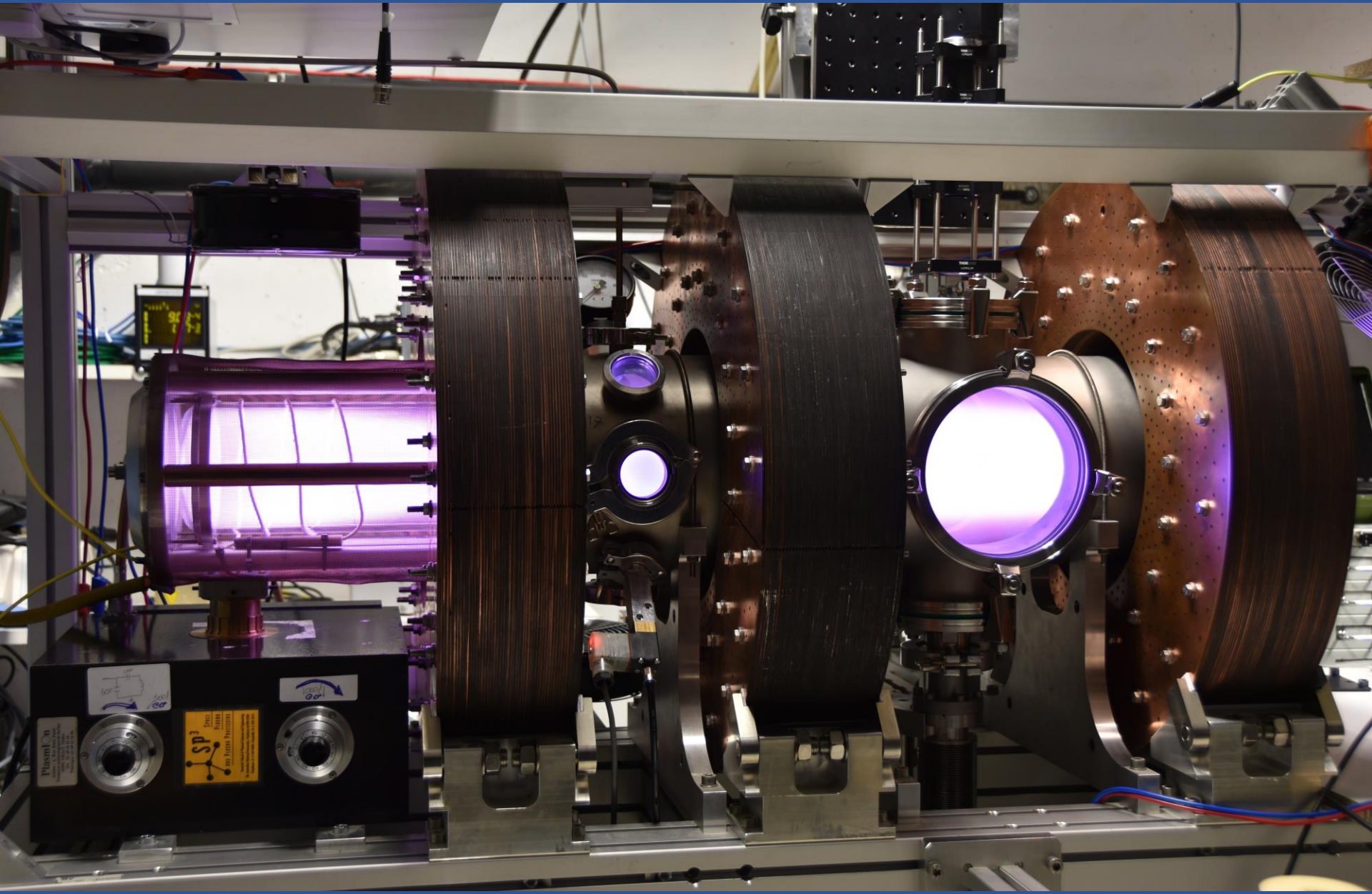
V. Dolique (IR CNRS)

F. Pagaud (Doctorant)

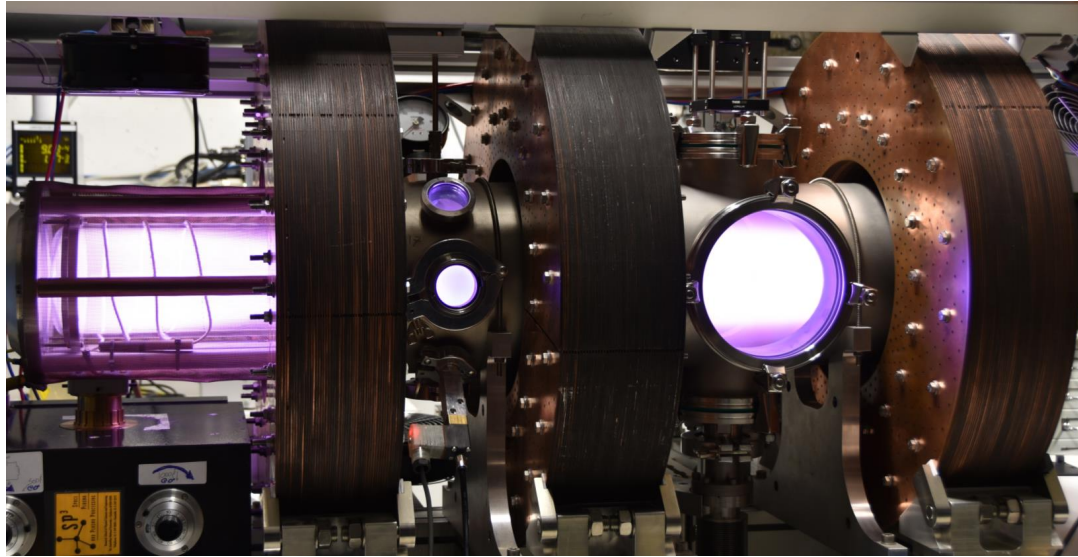
Laboratoire de Physique
ENS de Lyon

2 dernières thèses : S. Vincent et V. Désangles

EXPERIMENTAL SET-UP



EXPERIMENTAL SET-UP



Control parameter :

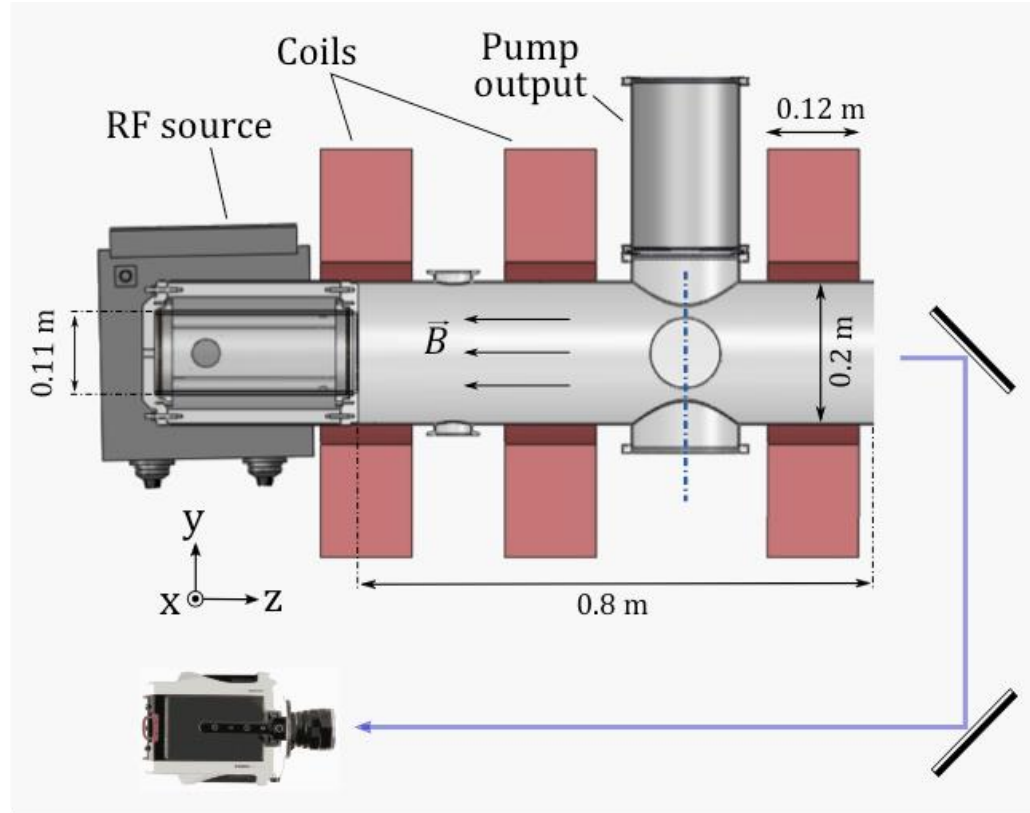
$$p_0 \sim 1 \text{ mTorr} \quad (10^{-6} \text{ atm})$$

$$P_W \sim 1 \text{ kW}$$

$$B \in [100 : 1500] \text{ G}$$

$$\rightarrow \begin{cases} n \sim 10^{18} \text{ m}^{-3} \\ T_e \sim 4 \text{ eV} \quad (5 \cdot 10^4 \text{ K}) \\ T_i \sim 0.2 \text{ eV} \quad (10^3 \text{ K}) \end{cases}$$

MEASUREMENT TOOLS



- Probe measurements :

- Density
- Electronic Temperature
- Plasma potential
- Ionic velocity
- Turbulent transport
(phase shift density / potential)

- Camera imaging

- Proxy for the density fluctuations

- LIF on Ar⁺ ions

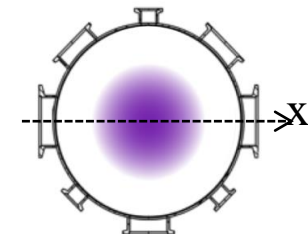
MEASUREMENT TOOLS : PROBES

- LANGMUIR PROBE

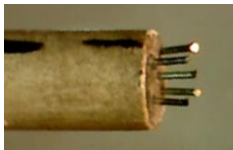


$I = f(V)$ response
to a bias sweep

$$\rightarrow n / T_e / V_f / V_p$$

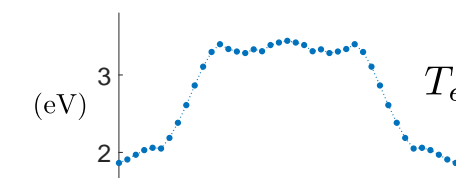
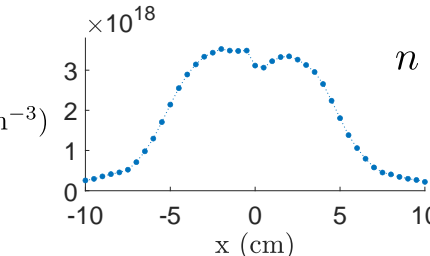


- TRANSPORT PROBE

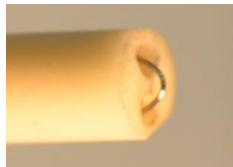


Triple probe
+ second V_f measure

$$\rightarrow \begin{cases} n(t) / T_e(t) / V_f(t) & (\text{m}^{-3}) \\ \Delta\phi(n, V_f) \\ \Gamma^* = \langle \tilde{n} \cdot \tilde{v}_r \rangle \end{cases}$$

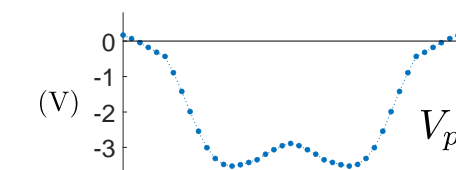


- EMISSIVE PROBE



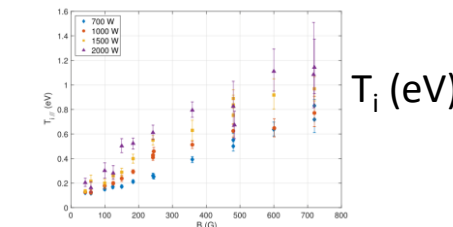
Electrode's potential
when heated up

$$\rightarrow V_p(t)$$



- LIF PROBE

$$\rightarrow T_i (\text{eV})$$



- Chen, IEEE-ICOPS Meeting (2003)
- Tsui et al., Rev. Sci. Instr., 63, 4608 (1992)
- Sheehan and Hershkowitz, Plasma Sources Sci. Technol., 20, 063001 (2011)

MEASUREMENT TOOLS : PROBES

- MACH PROBE



$$\rightarrow v_i$$

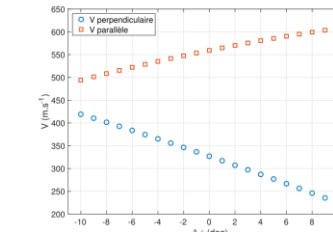
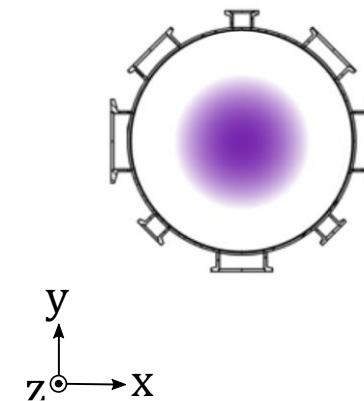
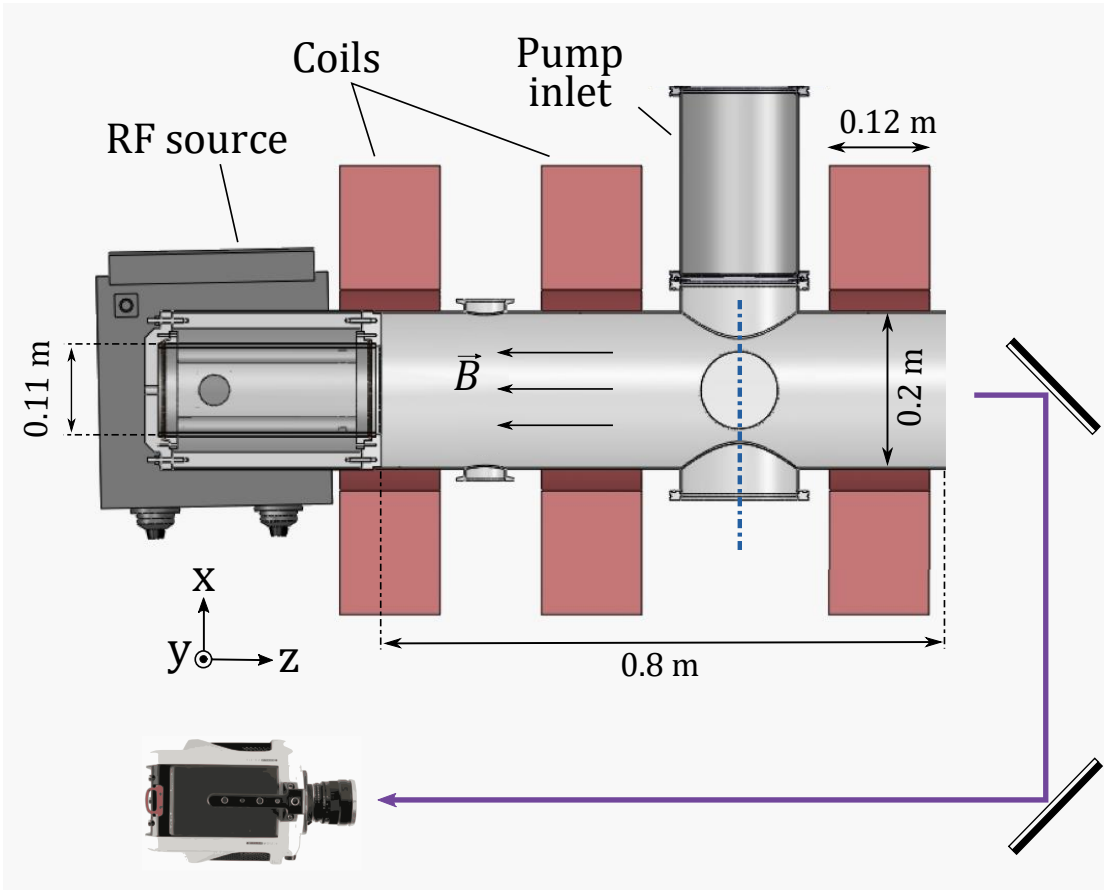


FIGURE 1.18 – Vitesses perpendiculaires et parallèles mesurées grâce au fit de la courbe de $V_{\text{mes}}(\phi + \Delta\phi)$ en fonction de $\Delta\phi$.

- Chen, IEEE-ICOPS Meeting (2003)
- Tsui et al., Rev. Sci. Instr., 63, 4608 (1992)
- Sheehan and Hershkowitz, Plasma Sources Sci. Technol., 20, 063001 (2011)

CAMERA IMAGING



*Acquisition frequency : 200 000 Hz
Résolution : 256x256 px*

LIF

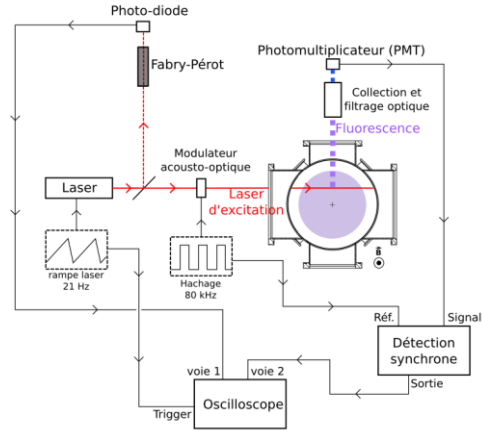
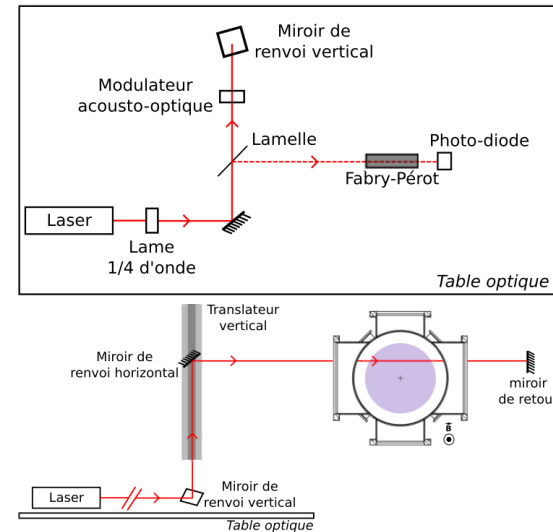


FIGURE 1.20 – Schéma complet du dispositif de LIF.

Schéma global de la mesure par LIF



Injection du laser

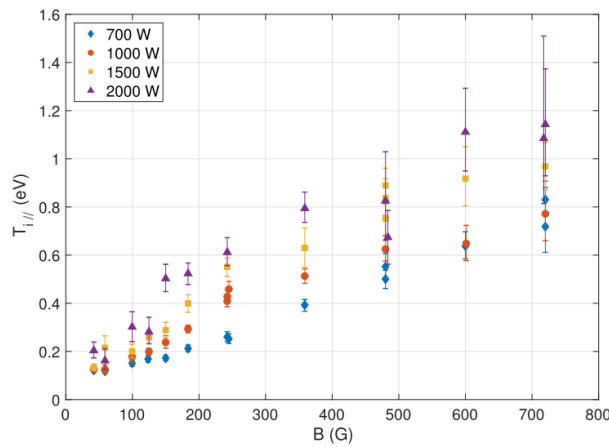
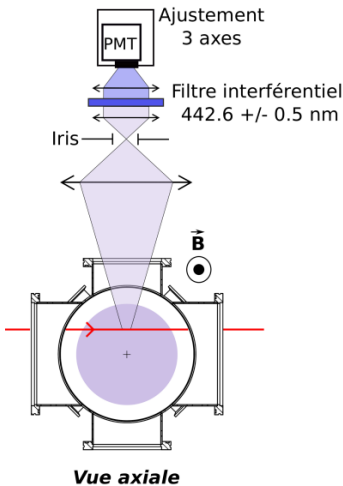


FIGURE 2.8 – Évolution de T_i parallèle en fonction du champ magnétique, mesurée au centre du plasma, pour différentes valeurs de puissance et une pression de 1 mTorr.



Detection de la fluorescence

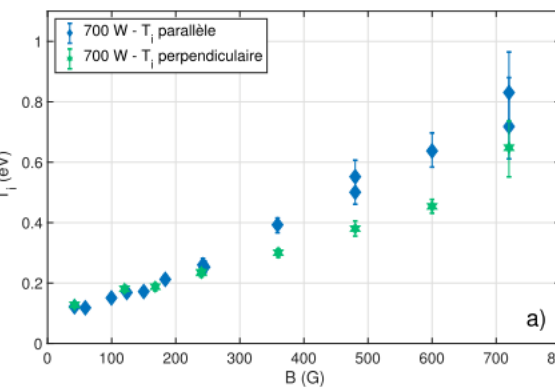
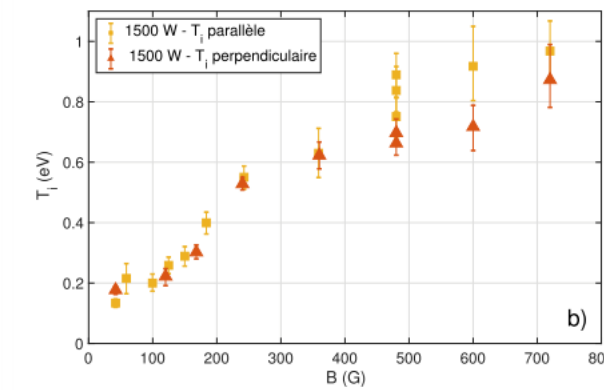
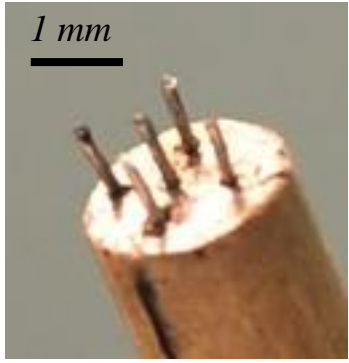


FIGURE 2.9 – Evolution des températures ioniques parallèles et perpendiculaires en fonction de champ magnétique, mesurées au centre du plasma, pour deux puissances RF différentes : a) 700 W et b) 1500 W, pour une pression de base de 1 mTorr.

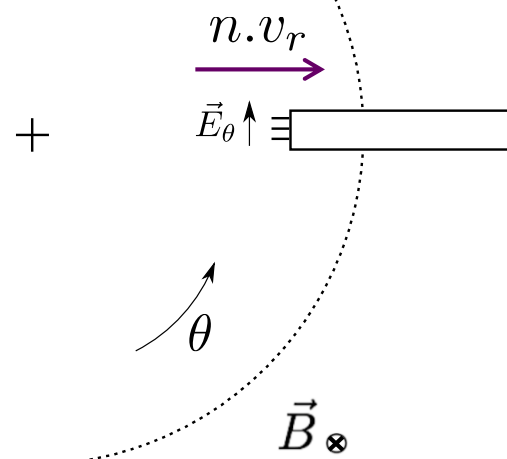


5-TIPS PROBE : transport

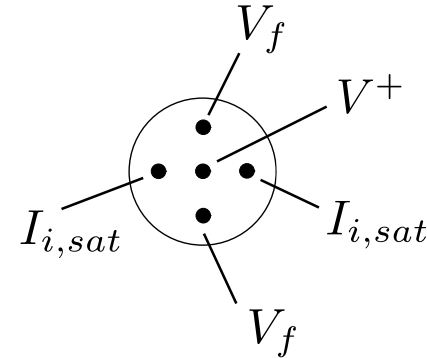


With $\vec{v} = \vec{v}_{E \times B}$:

$$\vec{v}_r = -\frac{E_\theta}{B} \hat{r}$$



Working principle



→ Simultaneous measure of :

$$\left\{ \begin{array}{l} n \\ V_f \\ T_e \\ \tau_{turb} = \langle \tilde{n} \cdot \tilde{v}_r \rangle \end{array} \right.$$

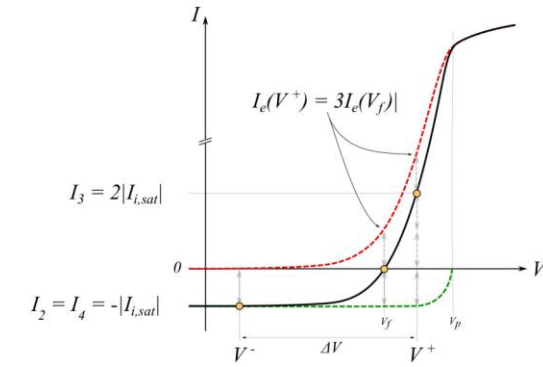
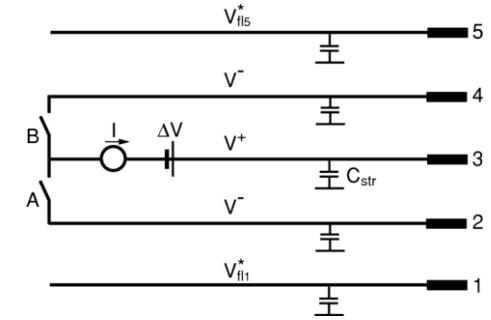


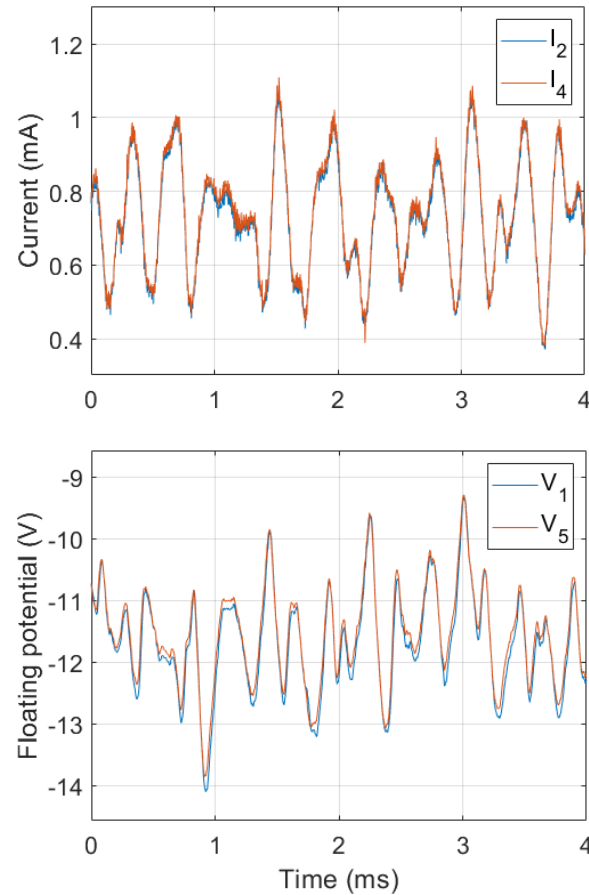
Figure 2.10: Theoretical IV curve (black) used to deduce the temperature from a 5-tips measurement, with the electronic (red) and ionic (green) parts of the total current. The points effectively measured by the 5-tips are highlighted as yellow dots.



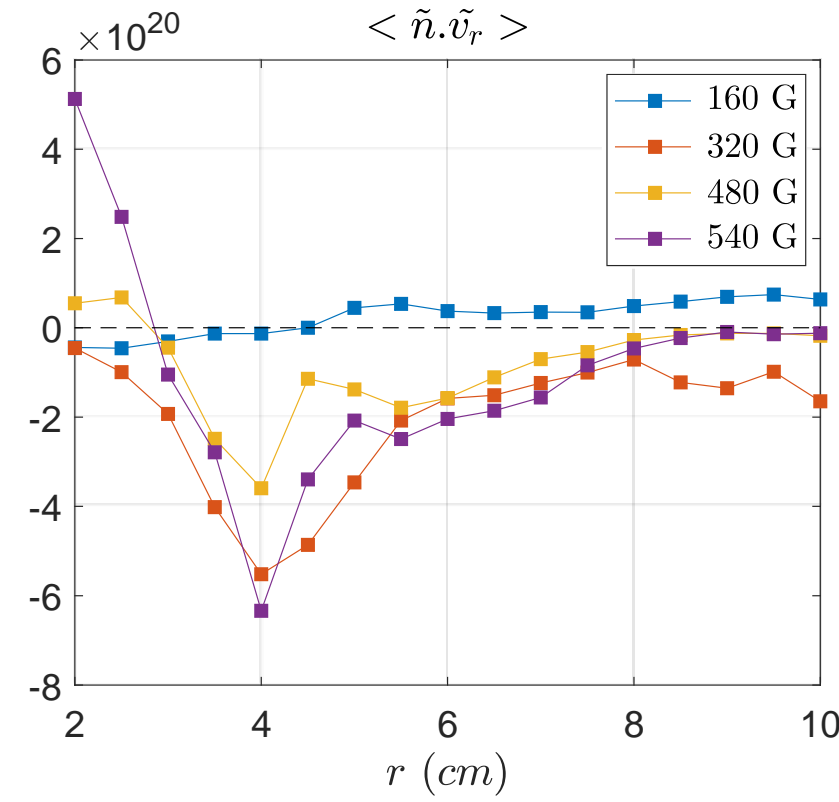
- Tsui et al., Rev. Sci. Instr., vol. 63, 4608 (1992)
- Theiler et al., Rev. Sci. Instr., vol. 82, 013504 (2011)

5-TIPS PROBE : transport

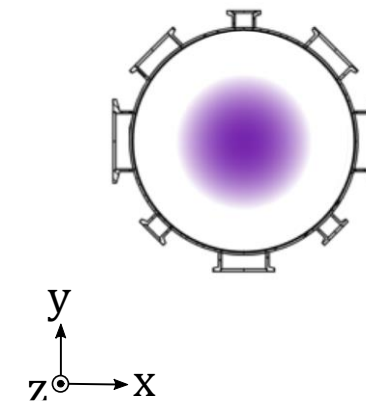
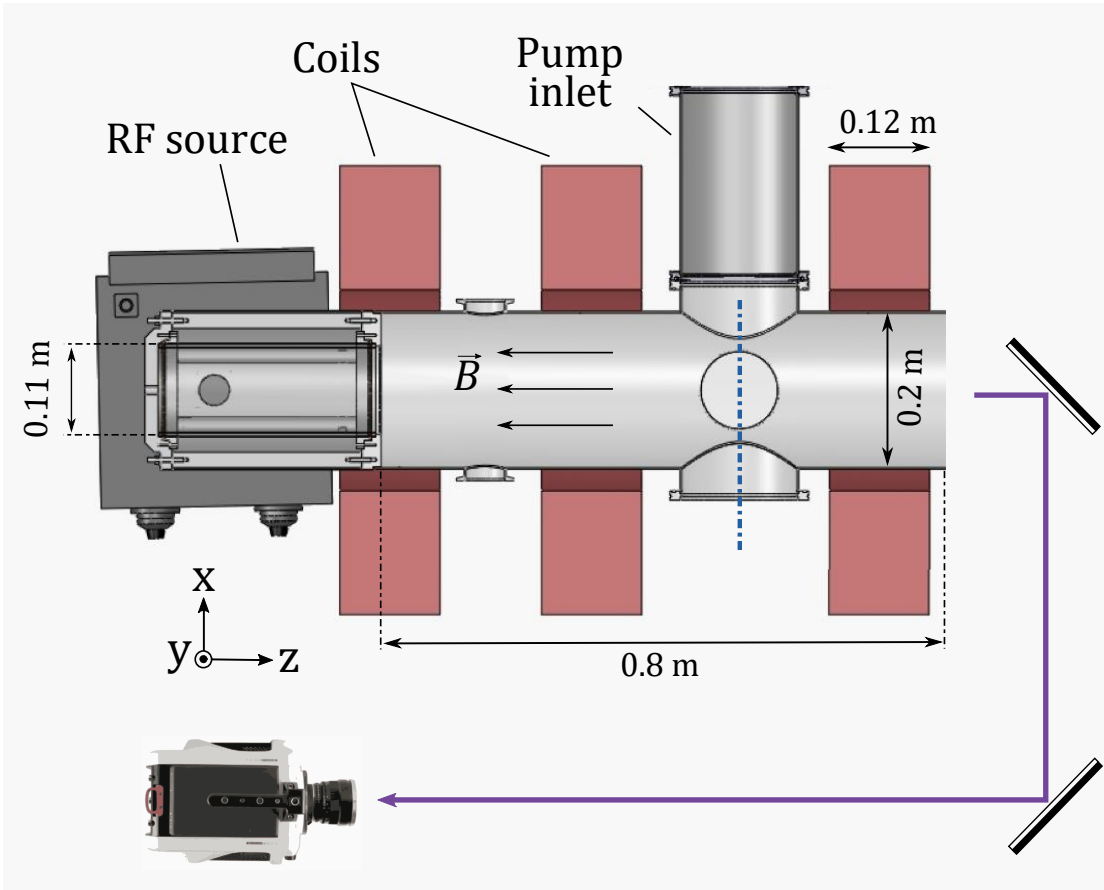
Time evolutions



Radial profiles



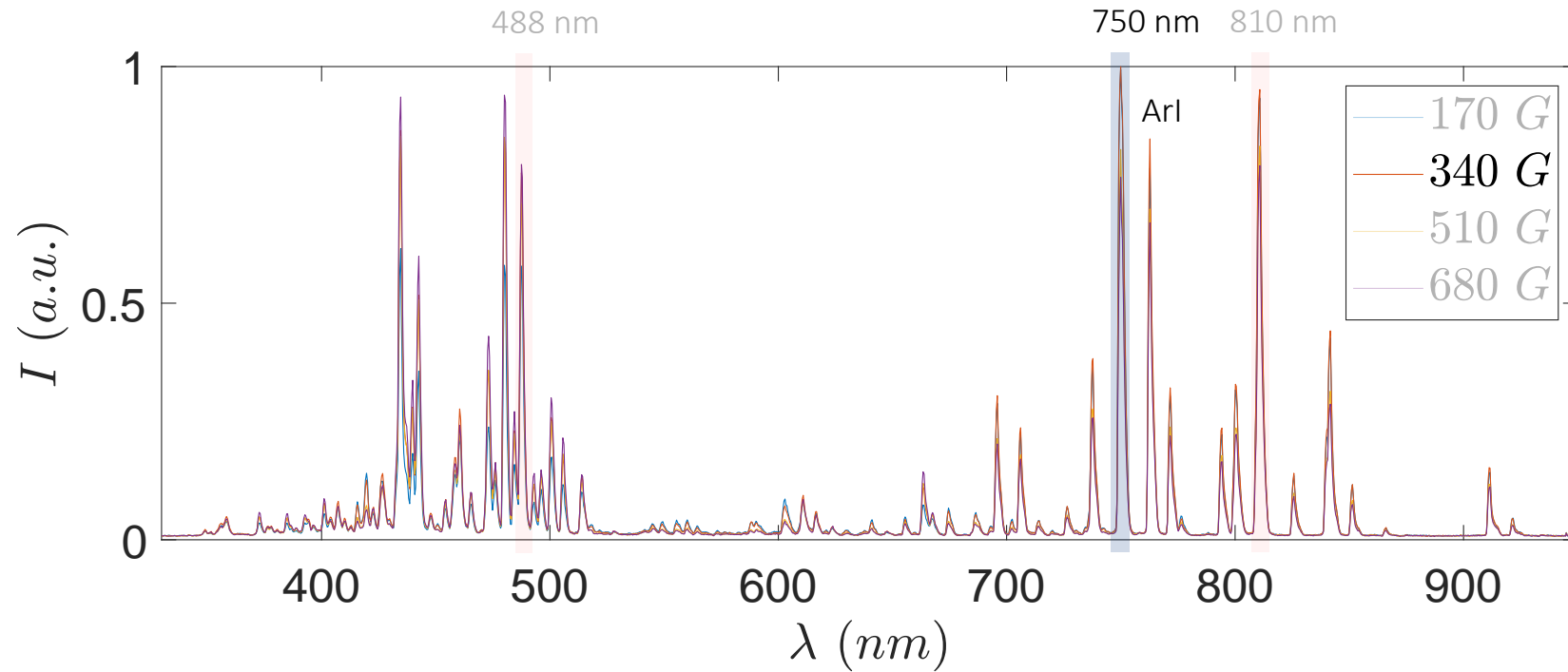
CAMERA IMAGING



Acquisition frequency : 200 000 Hz

Resolution : 256x256 px

CAMERA IMAGING – Precisions



→ Presentation restricted to : $\lambda = 750 \text{ nm} / B = 340 \text{ G}$

CAMERA IMAGING – What does the light represent ?

Usual assumption :

$$\tilde{I}_{cam} \propto \tilde{n}$$

Observation of « density fluctuations »

5 TIPS: mesure de \tilde{n}_e, \tilde{T}_e

- Oldenbürger *et al.*, *Rev. Sci. Instr.*, 81, 063505 (2010)
- Antar *et al.*, *Phys. Plasmas*, 14, 022301 (2007)
- Cui *et al.*, *Phys. Plasmas*, 22, 050704 (2015)

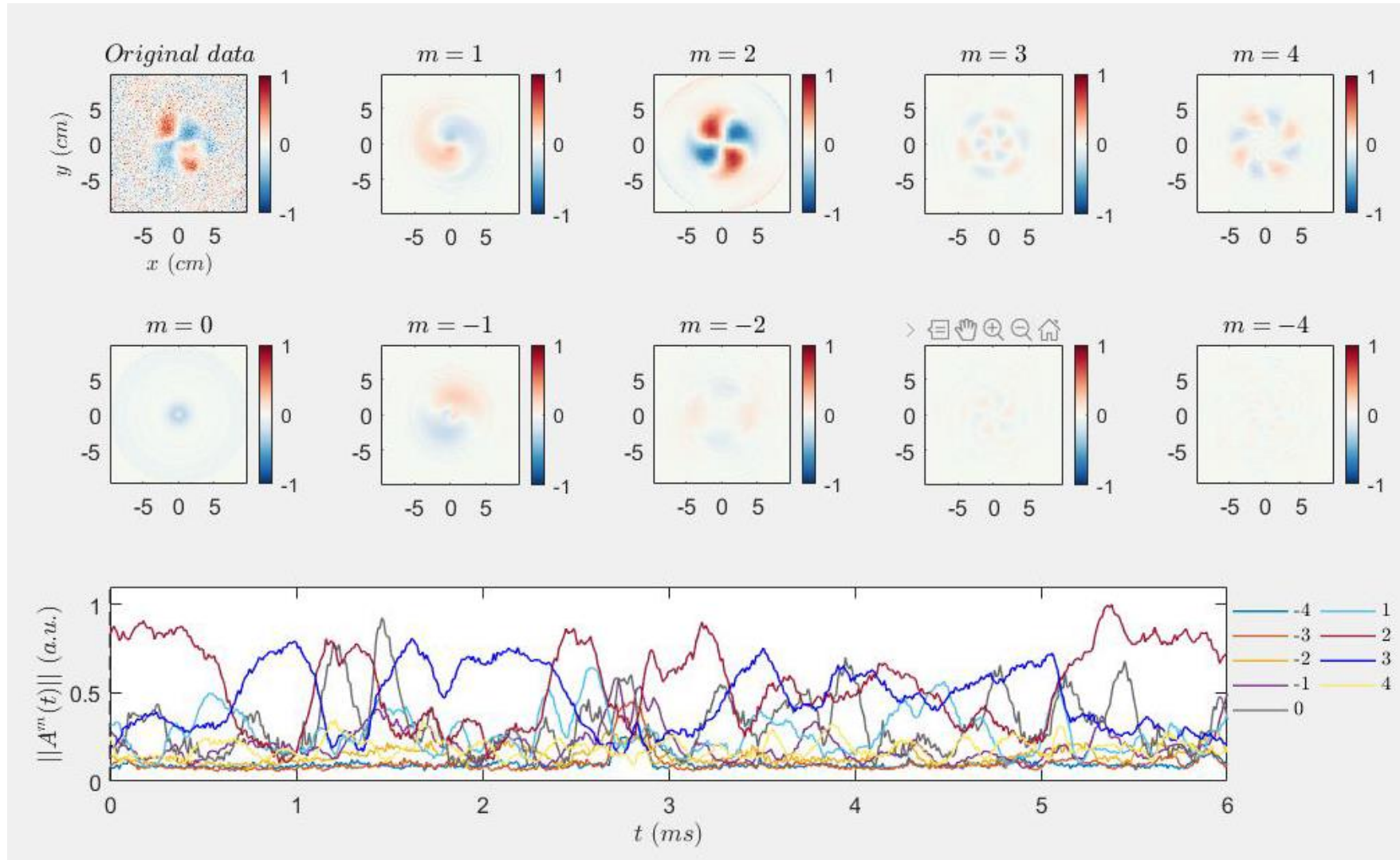


[Simon Vincent](#), [Vincent Dolique](#), and [Nicolas Plihon](#)

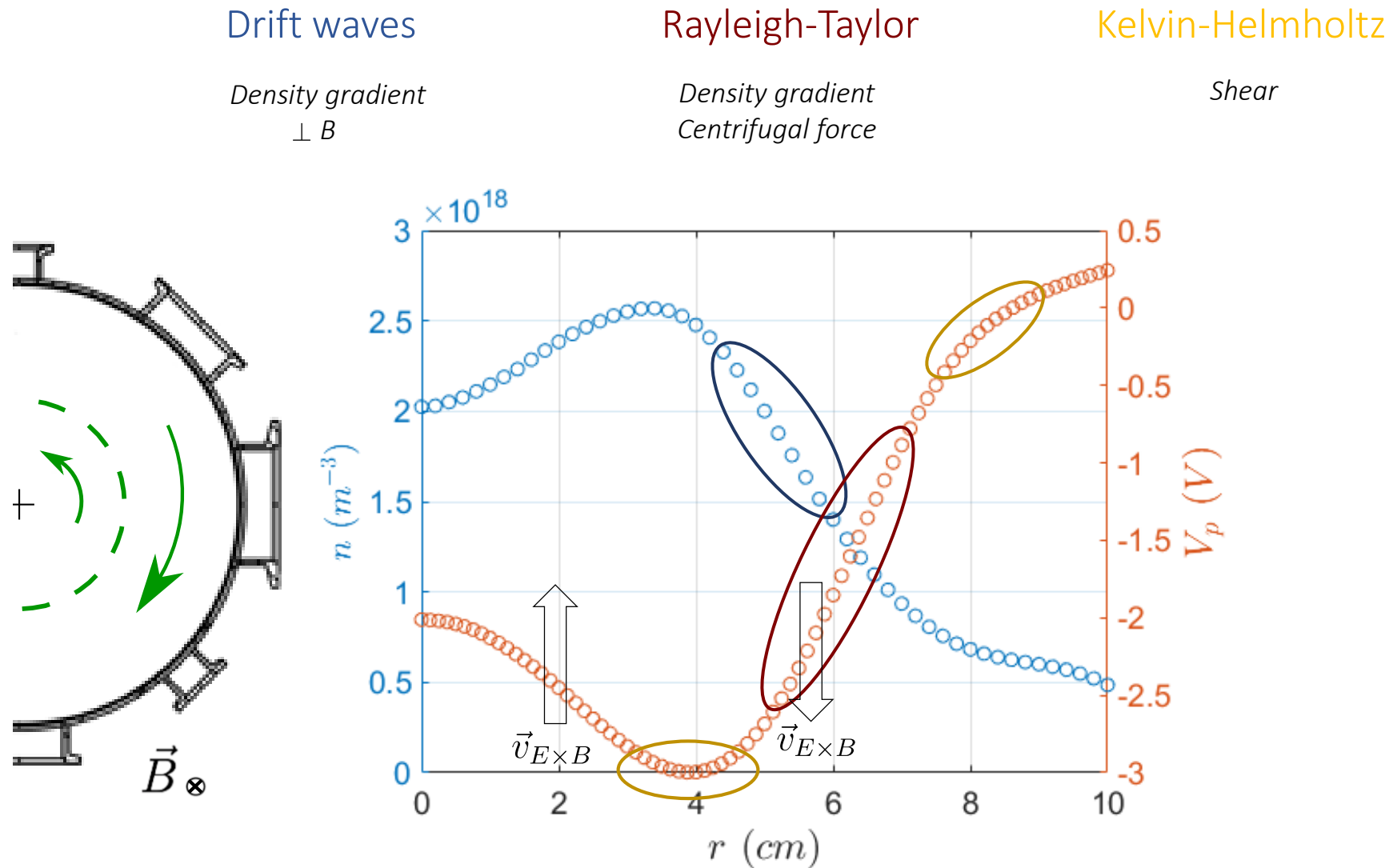
, "High-speed imaging of magnetized plasmas: When electron temperature matters", *Physics of Plasmas* 29, 032104 (2022)

CAMERA IMAGING – 2D Fourier Transform

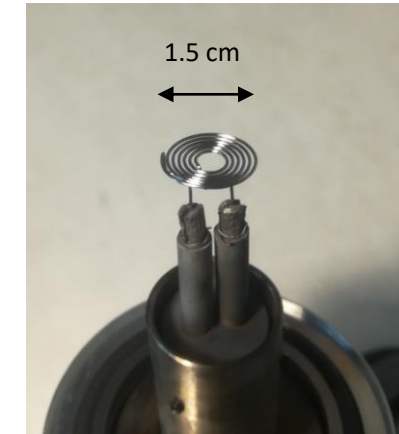
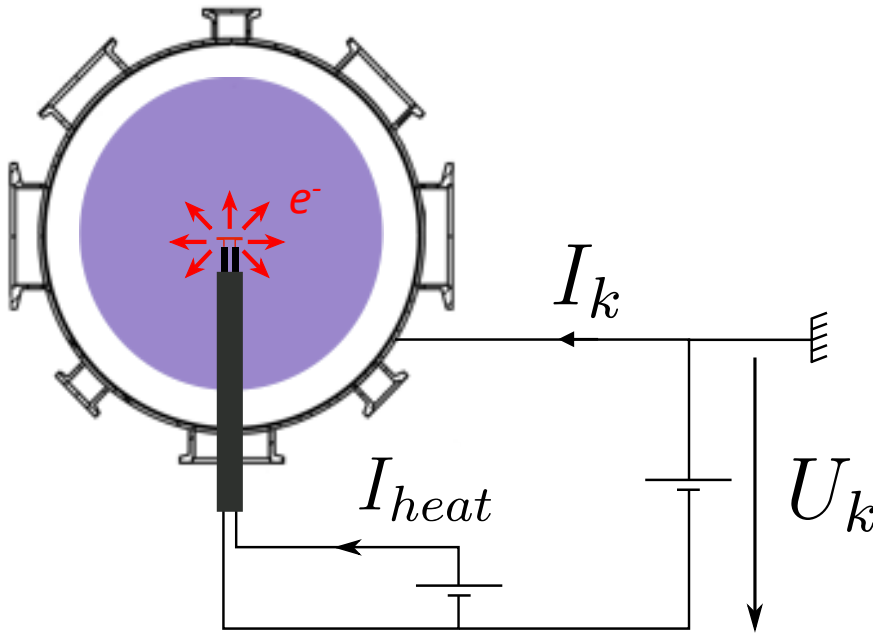
Time evolution of m -modes amplitudes ($B = 510$ G)



IDENTIFICATION OF THE WAVES: imaging camera and 5 tips probe



INFLUENCE OF AN EMISSIVE CATHODE

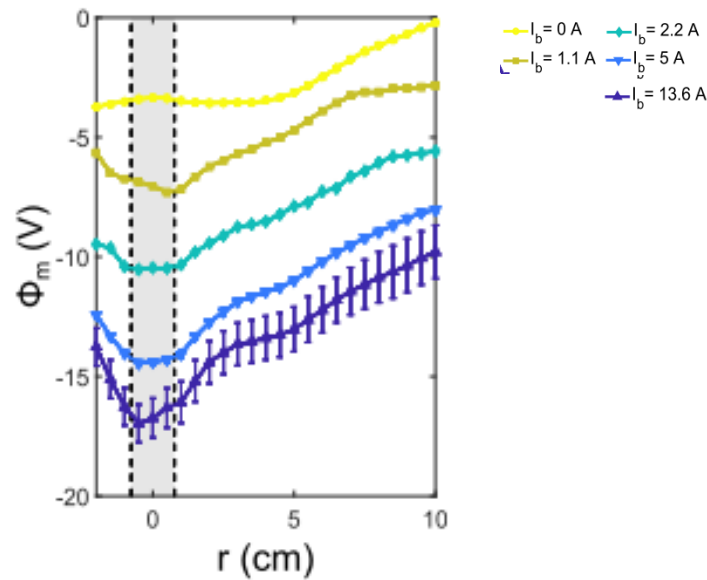


$$U_k \sim 10 - 60 \text{ V}$$

$$I_k = 0 - 10 \text{ A}$$

Désanglés et al., Journal of Plasma Physics, 87, 905870308 (2021)

INFLUENCE OF AN EMISSIVE CATHODE



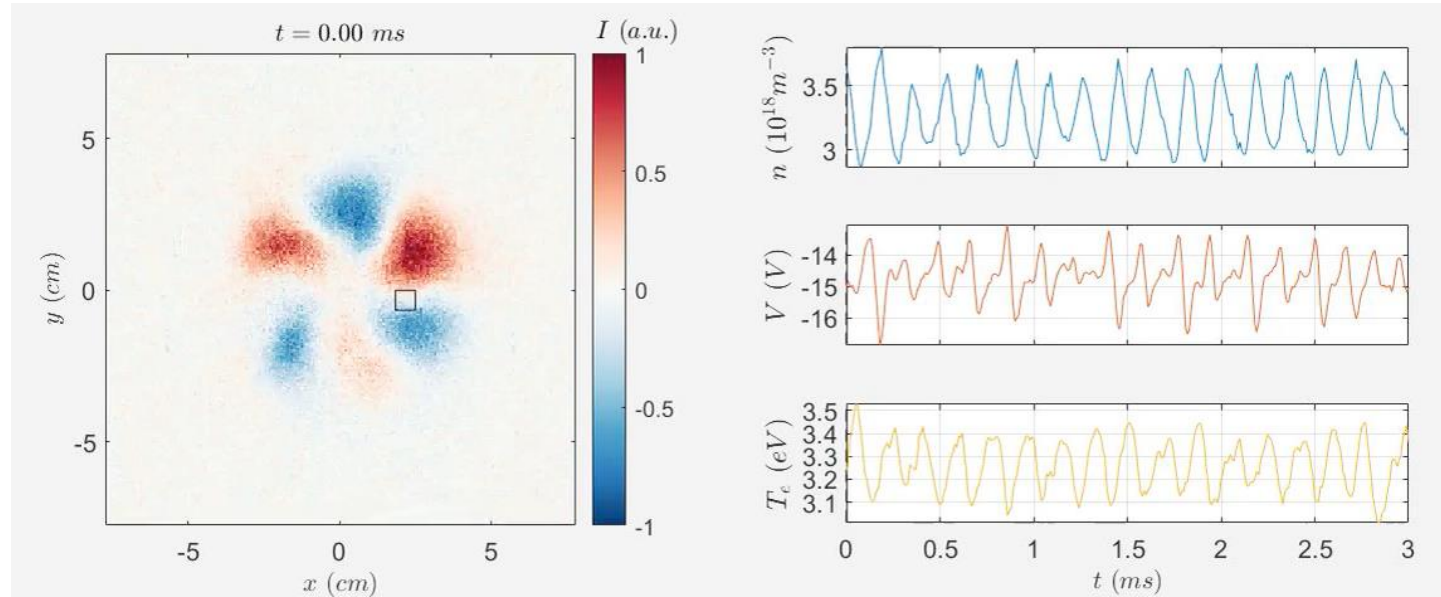
On-going collaboration with B. Trotabas & R. Gueroult
Laplace lab., Toulouse

Projet ANR déposé avec LAPLACE, PIIM, et M2P2.

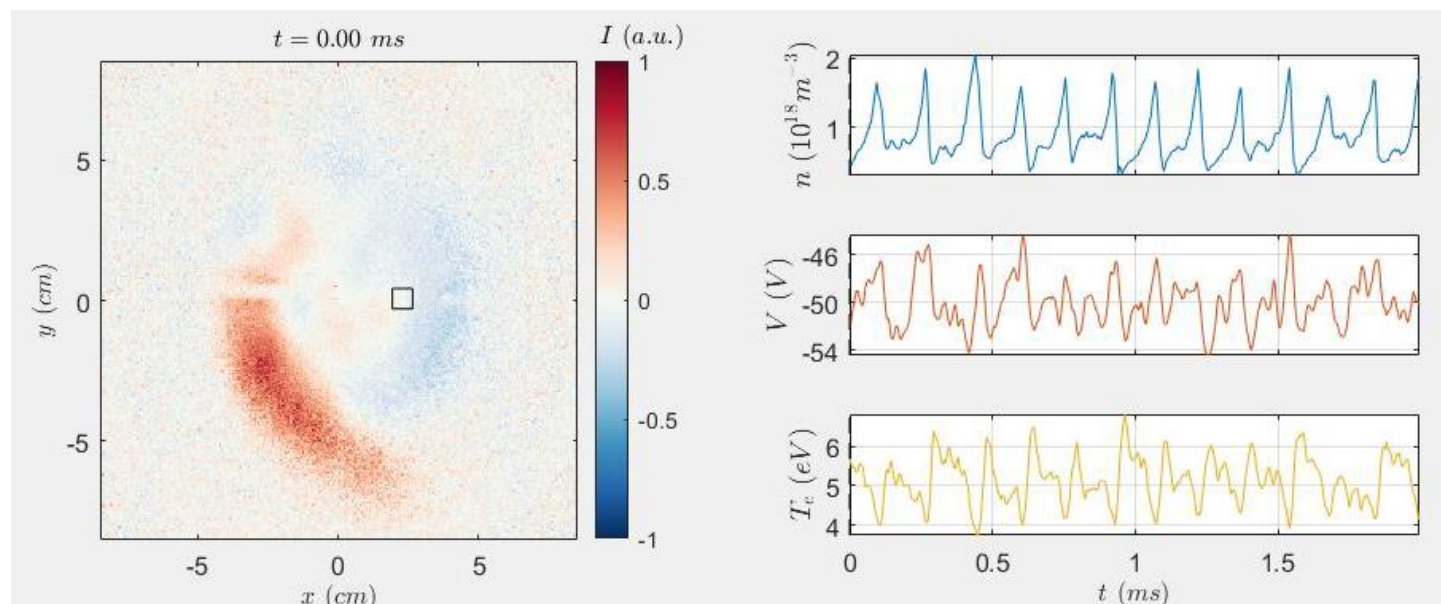
- Gueroult *et al.*, *Phys. Plasmas*, 26, 122106 (2019)
- Liziakin *et al.*, *Plasma Source Sci. Instr.*, 29, 0150808 (2020)

INFLUENCE OF AN EMISSIVE CATHODE

No
Cathode



$I_k = 10 \text{ A}$



PROJET 2023: DOUBLE SOURCE EN FACE A FACE

